

Modelos politônicos (para respostas politônicas)

Prof. Caio Azevedo

Aspectos Gerais

- Os modelos policotônicos visam analisar itens que apresentam mais de dois escores possíveis (categorias).
- Basicamente se dividem em duas classes
 - Nominais : as categorias não possuem ordenação entre si - itens de múltipla escolha.
 - Ordinais : as categorias possuem ordenação entre si - itens abertos aos quais são atribuídos algum escore (intervalo $\{0, 1, \dots, R\}$, $R \in \mathbb{Z}^+$, escala de Likert etc).

Exemplo de item nominal

QUESTÃO 16

Seja $f(x)$ uma função tal que para todo número real x temos que $xf(x - 1) = (x - 3)f(x) + 3$. Então, $f(1)$ é igual a

- a) 0.
- b) 1.
- c) 2.
- d) 3.

Exemplo de item gradual

14. Sejam c um número real e $f(x) = x^2 - 4x + c$ uma função quadrática definida para todo número real x . No plano cartesiano, considere a parábola dada pelo gráfico de $y = f(x)$.

- Determine c no caso em que a abscissa e a ordenada do vértice da parábola têm soma nula e esboce o respectivo gráfico para $0 \leq x \leq 4$.
- Considere os pontos de coordenadas $A = (a, f(a))$ e $B = (b, f(b))$, onde a e b são números reais com $a < b$. Sabendo que o ponto médio do segmento \overline{AB} é $M = (1, c)$, determine a e b .



Exemplo de item gradual: escala de likert

Qual é o nível de importância do trabalho em equipe para seu empregador?

- Extremamente importante
- Muito importante
- Um pouco importante
- Pouco importante
- Não é importante

https:

//help.surveymonkey.com/articles/pt_BR/kb/Likert-Scales

Exemplo de item gradual: escala de likert (altura)

Na cama, eu frequentemente sinto frio nos pés.

- Concordo totalmente
- Concordo parcialmente
- Discordo parcialmente
- Discordo totalmente

Modelo de Resposta Nominal - MRN

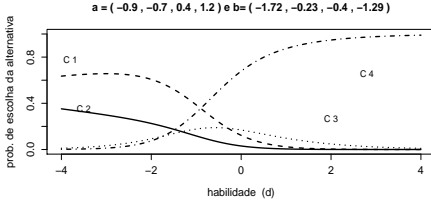
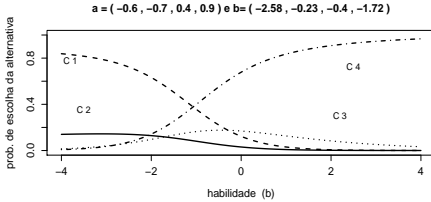
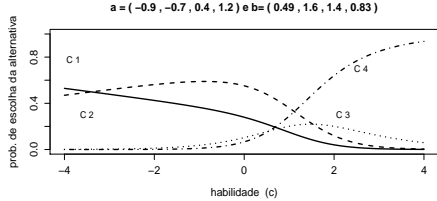
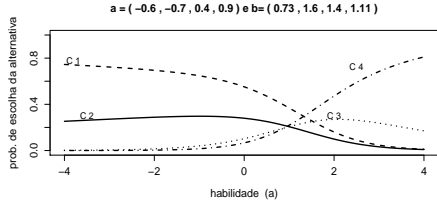
$$P_{ijs} = P(Y_{ijs} = 1 | \theta_j, \zeta_i) = \frac{e^{a_{is}(\theta_j - b_{is})}}{\sum_{h=1}^{m_i} e^{a_{ih}(\theta_j - b_{ih})}},$$

- $Y_{ijs} = 1$ se o indivíduo j , ($j = 1, 2, \dots, n$), escolhe a categoria s , ($s = 1, 2, \dots, m_i$) do item i , ($i = 1, 2, \dots, I$) e 0, caso contrário ($\sum_{h=1}^{m_i} Y_{ijs} = 1$, as categorias são exaustivas e mutuamente excludentes)
- θ_j : traço latente do indivíduo j .

Modelo de Resposta Nominal - MRN

- a_{is} : está associado à discriminação da categoria s .
- b_{is} : está relacionado à dificuldade da categoria s .
- $\zeta_i = (a_1, b_{i1}, \dots, b_{im_i})'$. Parâmetros resumo: Pereira, S. R. S. (2012)
Contribuições ao Estudo do Modelo de Resposta Nominal,
Dissertação de Mestrado, IMECC, Unicamp,
<http://repositorio.unicamp.br/handle/REPOSIP/306794>.
- Apresentar exemplos de valores para os parâmetros resumo.

Representação gráfica do MRN



Modelo de Resposta Gradual - MRG

- Seja $Y_{js} = 1$ se o indivíduo j , ($j = 1, 2, \dots, n$), escolhe a categoria s , ($s = 0, 1, 2, \dots, m_i$) do item i , ($i = 1, 2, \dots, I$) e 0, caso contrário ($\sum_{h=1}^{m_i} Y_{js} = 1$, as categorias são exaustivas e mutuamente excludentes)
- Probabilidade do indivíduo j escolher (receber o escore s) a categoria s ou outra (outro escore) de maior valor:

$$P_{i,s}^+(\theta_j) = \frac{1}{1 + e^{-Da_i(\theta_j - b_{is})}};$$

Modelo de Resposta Gradual - MRG

em que (de modo que $\sum_{h=1}^{m_i} P_{ijs} = 1$, P_{ijs} é probabilidade do indivíduo j escolher a categoria s do item i):

$$P_{ijs} = P_{i,s}(\theta_j) = P_{i,s}^+(\theta_j) - P_{i,s+1}^+(\theta_j)$$

$$P_{i,0}(\theta_j) = P_{i,0}^+(\theta_j) - P_{i,1}^+(\theta_j) = 1 - P_{i,1}^+(\theta_j)$$

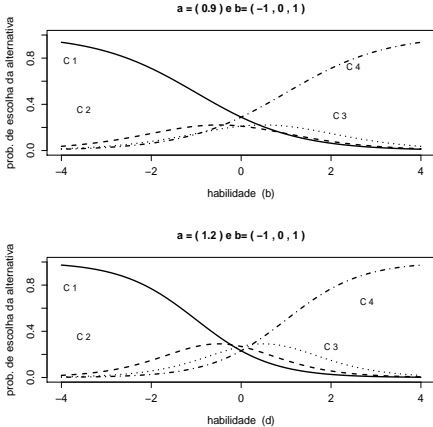
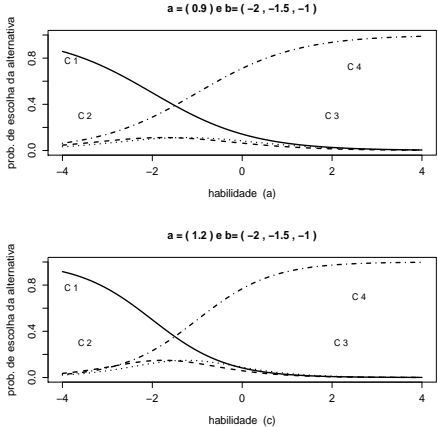
$$P_{i,m_i}(\theta_j) = P_{i,m_i}^+(\theta_j) - P_{i,m_i+1}^+(\theta_j) = P_{i,m_i}^+(\theta_j)$$

cont.

$$P_{ijs} = P(Y_{ijs} = 1 | \theta_j, \zeta_i) = \frac{1}{1 + e^{-D\alpha_i(\theta_j - b_{is})}} - \frac{1}{1 + e^{-D\alpha_i(\theta_j - b_{i(s+1)})}}$$

- θ_j : traço latente do indivíduo j .
- a_i : está associado à discriminação do item i .
- b_{is} : está relacionado à dificuldade da categoria s .
- $\zeta_i = (a_1, b_{i1}, \dots, b_{im_i})$.

Representação gráfica do modelo de resposta gradual



Estimação

- Em geral, há muito mais parâmetros para se estimar do que nos modelos dicotômicos.
- MRN : $2m_i - 2 + n$ (restrições de identificabilidade:
 $\sum_{h=1}^{m_i} a_{is} = \sum_{h=1}^{m_i} d_{is} = 0, d_{is} = -a_{is}b_{is}.$)
- MRG : $m_i + 1 + n$ (restrições de identificabilidade: $b_{i0} = 0$).
- Adicionalmente, $\theta \sim D(\eta_\theta)$, em que $\mathcal{E}(\theta) = 0$, $\mathcal{V}(\theta) = 1$.

Estimação

- Maior número de iterações requeridas nos processos iterativos.
- Mais pontos de quadratura para se obter estimativas acuradas.
- Espaço paramétrico, em geral, apresenta menos restrições.
 - MRN : sem restrições.
 - MRG : $a_i > 0$ e $b_{is} \in \mathbb{R}$, $b_{i1} \leq \dots \leq b_{im_i}$ (além das restrições de identificabilidade).

Estimação por máxima verossimilhança

- Para cada indivíduo/item (verossimilhança multinomial (Bernoulli multivariada) ($r = 0,1$):

$$P(Y_{ijr} = y_{ijr}, \dots, Y_{ijm_i} = y_{ijm_i} | \theta_j, \zeta_i) = \prod_{s=r}^{m_i} P_{ijs}^{y_{ijs}}.$$

- Maximizar a verosimilhança (conjunta)

$$L(\theta, \zeta) = \prod_{j=1}^n \prod_{i=1}^I \prod_{s=1}^{m_i} P_{ijs}^{y_{ijs}}.$$

- Problemas em se maximizar a verossilhança genuína (essencialmente os mesmos relativos aos modelos dicotômicos).
- Alternativa : maximizar a verossimilhança marginal.

Estimação por máxima verossimilhança marginal

- log-verossimilhança marginal

$$\begin{aligned} I(\zeta, \eta) &= \sum_{j=1}^n \ln \int_{\Re} P(\mathbf{Y}_{.j.} | \zeta, \theta) g(\theta | \eta) d\theta \\ &= \sum_{j=1}^n \ln P(\mathbf{Y}_{.j.} | \zeta, \eta). \end{aligned}$$

- Função escore

$$S(\zeta_i) = \sum_{j=1}^n \left\{ \frac{1}{P(\mathbf{Y}_{.j.} | \zeta, \eta)} \left(\frac{\partial}{\partial \zeta_i} P(\mathbf{Y}_{.j.} | \zeta, \eta) \right) \right\},$$

Estimação por máxima verossimilhança marginal - cont.

mas,

$$\begin{aligned}\frac{\partial}{\partial \zeta_i} P(\mathbf{Y}_{\cdot j \cdot} | \zeta, \eta) &= \frac{\partial}{\partial \zeta_i} \left\{ \int_{\Re} P(\mathbf{Y}_{\cdot j \cdot} | \zeta, \theta) g(\theta | \eta) d\theta \right\} \\ &= \int_{\Re} \frac{\partial}{\partial \zeta_i} \left\{ \prod_{i=1}^I P_{ij \cdot}^{y_{ij \cdot}} \right\} g(\theta | \eta) d\theta,\end{aligned}$$

com

$$\prod_{i=1}^I P_{ij \cdot}^{y_{ij \cdot}} = \prod_{i=1}^I \prod_{s=1}^{m_i} P_{ijs}^{y_{ijs}} \text{ e } P_{ijs} = P(Y_{ijs} = 1 | \zeta_i, \theta).$$

Estimação por máxima verossimilhança marginal - cont.

Seguindo, temos que

$$\begin{aligned}\frac{\partial}{\partial \zeta_i} P(\mathbf{Y}_{\cdot j \cdot} | \boldsymbol{\zeta}, \boldsymbol{\eta}) &= \int_{\Re} \left\{ \prod_{i' \neq i} P_{ij \cdot}^{y_{ij \cdot}} \right\} \left\{ \frac{\partial P_{ij \cdot}^{y_{ij \cdot}}}{\partial \zeta_i} \right\} g(\theta | \boldsymbol{\eta}) d\theta \\ &= \int_{\Re} \left\{ \prod_{i=1}^I P_{ij \cdot}^{y_{ij \cdot}} \right\} \left\{ \prod_{s=1}^{m_i} P_{ijs}^{y_{ijs}} \right\}^{-1} \left\{ \frac{\partial P_{ij \cdot}^{y_{ij \cdot}}}{\partial \zeta_i} \right\} g(\theta | \boldsymbol{\eta}) d\theta.\end{aligned}$$

Por outro lado (y_s, a_s, ϕ) são quantidades genéricas.

$$\left\{ \prod_s y_s^{a_s} \right\}^{-1} \frac{\partial}{\partial \phi} \left\{ \prod_s y_s^{a_s} \right\} = \sum_s \left\{ \frac{\partial y_s}{\partial \phi} \right\} \left\{ \frac{a_s}{y_s} \right\}, \text{ com } y_s = f(\phi).$$

Estimação por máxima verossimilhança marginal - cont.

Dessa forma, temos

$$\left\{ \prod_{s=1}^{m_i} P_{ij_s}^{y_{ij_s}} \right\}^{-1} \left\{ \frac{\partial}{\partial \zeta_i} \left[\prod_{s=1}^{m_i} P_{ij_s}^{y_{ij_s}} \right] \right\} = \sum_{s=1}^{m_i} \left\{ \frac{\partial P_{ij_s}}{\partial \zeta_i} \right\} \left\{ \frac{y_{ij_s}}{P_{ij_s}} \right\} .$$

Assim,

$$\frac{\partial}{\partial \zeta_i} P(\mathbf{Y}_{.j.} | \zeta, \boldsymbol{\eta}) = \int_{\Re} P(\mathbf{Y}_{.j.} | \zeta, \theta) g(\theta | \boldsymbol{\eta}) \left\{ \sum_{s=1}^{m_i} \left[\frac{y_{ij_s}}{P_{ij_s}} \left(\frac{\partial P_{ij_s}}{\partial \zeta_i} \right) \right] \right\} d\theta .$$

Estimação por máxima verossimilhança marginal - cont.

Desse modo, vem que

$$S(\zeta_i) = \sum_{j=1}^n \left\{ \int_{\Re} g_j^*(\theta) \left\{ \sum_{s=1}^{m_i} \left[\frac{y_{ijs}}{P_{ijs}} \left(\frac{\partial P_{ijs}}{\partial \zeta_i} \right) \right] \right\} d\theta \right\}.$$

Em que $g_j^*(\theta) = \frac{P(\mathbf{Y}_{.j.}|\theta, \boldsymbol{\eta}) g(\theta|\boldsymbol{\eta})}{\int_{\Re} P(\mathbf{Y}_{.j.}|\theta, \boldsymbol{\eta}) g(\theta|\boldsymbol{\eta})}$ o qual compõe os **dados artificiais**.

- Resolução do sistemas de equações de estimação : adaptação do **(Pseudo) algoritmo EM**.

Desenvolvimento da verossimilhança - Algoritmo EM

- Considere uma população dividida em q categorias de proficiência e que dela se extrai uma amostra de tamanho n .
- Suponha que as proporções no item anterior são dadas por $\pi = (\pi_1, \dots, \pi_q)'$.
- Denote por $\mathbf{f}_i = (f_{i1}, \dots, f_{iq})'$ a quantidade de indivíduos em cada nível de habilidade e $\mathbf{r}_i = (r_{i1}, \dots, r_{iq})'$, $\mathbf{r}_{ik} = (r_{ik1}, \dots, r_{ikm_i})'$ a quantidade daqueles que escolhem a categoria s , $s = 1, \dots, m_i$, no item i com nível de traço latente l , ambos observados na amostra. Além disso $\mathbf{r} = (\mathbf{r}_1, \dots, \mathbf{r}_I)'$.

Desenvolvimento da verossimilhança - Algoritmo EM

- A probabilidade conjunta que os f_{il} indivíduos tenham habilidades $\bar{\theta}_l$, $l = 1, \dots, q$, é dada pela distribuição multinomial:

$$P(\mathbf{F}_i = \mathbf{f}_i | \boldsymbol{\pi}) \equiv P(\mathbf{f}_i | \boldsymbol{\pi}) = \frac{n_{(i)}!}{\prod_{l=1}^q f_{il}!} \prod_{l=1}^q \pi_j^{f_{il}}, \quad i = 1, \dots, I,$$

- Dados f_{il} e $\bar{\theta}_l$, a probabilidade de ocorrerem r_{ilh} escolhas da categoria h, ao item i dentre as f_{il} tentativas (respostas) por indivíduos com traço latente $\bar{\theta}_l$ (multinomial(f_{il} , \mathbf{P}_{il})), em que $\mathbf{P}_{il} = (P_{il1}, \dots, P_{ilm_i})'$, é dada por

$$P(\mathbf{R}_{il} = \mathbf{r}_{il} | f_{il}, \bar{\theta}_l) \equiv P(r_{il} | f_{il}, \bar{\theta}_l) = \frac{f_{il}}{\prod_{m_i} r_{ils}!} \prod_{s=1}^{m_i} P_{ils}^{r_{ils}},$$

Desenvolvimento da verossimilhança - Algoritmo EM

- A probabilidade conjunta de \mathbf{f} e \mathbf{r} , dados $\bar{\theta} = (\bar{\theta}_1, \dots, \bar{\theta}_q)'$ e π , é

$$\begin{aligned} P(\mathbf{F} = \mathbf{f}, \mathbf{R} = \mathbf{r} | \bar{\theta}, \pi) &\equiv P(\mathbf{f}, \mathbf{r} | \bar{\theta}, \pi) = P(\mathbf{r} | \mathbf{f}, \bar{\theta}, \pi)P(\mathbf{f} | \bar{\theta}, \pi) \\ &= P(\mathbf{r} | \mathbf{f}, \bar{\theta})P(\mathbf{f} | \pi) \\ &= \left\{ \prod_{i=1}^I \prod_{l=1}^q P(\mathbf{r}_{il} | f_{il}, \bar{\theta}_l) \right\} \left\{ \prod_{i=1}^I P(\mathbf{f}_i | \pi) \right\} \end{aligned}$$

- Segue que a log-verossimilhança para os dados completos é :

$$\begin{aligned} \ln L(\zeta) &= \ln P(\mathbf{f} | \pi) + \sum_{i=1}^I \sum_{l=1}^q \ln P(\mathbf{r}_{il} | f_{il}, \bar{\theta}_l) \\ &= \ln P(\mathbf{f} | \pi) + \sum_{i=1}^I \sum_{l=1}^q \left\{ \ln f_{il} - \sum_{s=1}^{m_i} \ln r_{ils}! + \sum_{s=1}^{m_i} r_{ils} \ln P_{ils} \right\} \\ &= C + \sum_{l=1}^q \sum_{i=1}^I \sum_{s=1}^{m_i} r_{ils} \ln P_{ils}, \end{aligned}$$

Desenvolvimento da verossimilhança - Algoritmo EM

- Tomando a esperança da log-verossimilhança, condicionada a $(\mathbf{Y}_{..}', \zeta')'$, para os dados completos, temos que

$$E[\ln L(\zeta) | (\mathbf{Y}_{..}', \zeta')'] = \bar{C} + \sum_{i=1}^I \sum_{l=1}^q \left\{ \sum_{s=1}^{m_i} \bar{r}_{ils} \ln P_{ils} \right\},$$

em que

$$\bar{r}_{ils} = E[r_{ils} | \mathbf{Y}_{..}, \zeta] = \sum_{j=1}^n y_{ijs} g_j^*(\bar{\theta}), \quad \bar{f}_{il} = E[f_{il} | \mathbf{Y}_{..}, \zeta] = \sum_{j=1}^n g_j^*(\bar{\theta})$$
$$\text{e} \quad \bar{C} = E[C | \mathbf{Y}_{..}, \zeta].$$

Lembrando que $\sum_{s=1}^{m_i} \bar{r}_{ils} = \bar{f}_{il}$ e

$$g_j^*(\bar{\theta}) = \frac{P(\mathbf{Y}_{.j.} | \theta_l, \boldsymbol{\eta}) g(\bar{\theta}_l | \boldsymbol{\eta})}{\sum_{l=1}^q P(\mathbf{Y}_{.j.} | \theta_l, \boldsymbol{\eta}) g(\bar{\theta}_l | \boldsymbol{\eta})}.$$

Aplicação do Pseudo algoritmo EM

A proposta de Bock constitui-se no seguinte procedimento

Passo E

Usar os pontos de quadratura $\bar{\theta}_l$, os pesos $A_l^{(t)}$, $l = 1, \dots, q$ e estimativas provisórias dos parâmetros dos itens, $\hat{\zeta}_i^{(t)}$, $i = 1, \dots, I$, para gerar $g_j^*(\bar{\theta}_l)^{(t)}$ e, posteriormente, $\bar{r}_{ils}^{(t)}$ e $\bar{f}_{il}^{(t)}$, $i = 1, \dots, I$, $l = 1, \dots, q$ e $s = 0, 1, \dots, m_i$.

Passo M

Com $\bar{r}^{(t)}$ e $\bar{f}^{(t)}$ obtidos no Passo E, resolver as equações de estimação para ζ_i , $i = 1, \dots, I$, usando o algoritmo de Newton-Raphson ou Escore de Fisher.

Expressões para o MRN

- Inserir as restrições de identificabilidade dos itens (slide 13). Há várias formas de fazê-lo.
- Define-se os parâmetros irrestritos (Γ_i), $\alpha_{ih} = a_{i1} - a_{i(h+1)}$, $\delta_{ih} = d_{i1} - d_{i(h+1)}$, com base nos parâmetros transformados (ζ_i^*), $d_{is} = -a_{is} b_{is}$.
- As derivadas necessárias são calculadas em função de $\Gamma_i = \zeta_i^* S_i$.
- Mais detalhes veja Azevedo, C. L. N. (2003). Métodos de estimação na Teoria da Resposta ao Item. Dissertação de Mestardo, IMECC, Unicamp.

http://www.ime.unicamp.br/~cnaber/Disser_METRI.pdf

Expressões para o MRN

- Vetor escore

$$\boldsymbol{S}(\boldsymbol{\Gamma}_i) = \sum_{l=1}^q \left\{ \begin{bmatrix} 1 \\ \bar{\theta}_l \end{bmatrix} \otimes \boldsymbol{T}_i [\bar{\boldsymbol{r}}_{il.} - \bar{f}_{il} \boldsymbol{P}_{il.}] \right\}$$

- Matriz Hessiana (= - Informação de Fisher)

$$\boldsymbol{H}(\boldsymbol{\Gamma}_i) = \frac{\partial I(\boldsymbol{\Gamma}, \boldsymbol{\eta})}{\partial \boldsymbol{\Gamma}_i \partial \boldsymbol{\Gamma}'_i} = - \sum_{l=1}^q \left\{ \begin{bmatrix} 1 & \bar{\theta}_l \\ \bar{\theta}_l & \bar{\theta}_l^2 \end{bmatrix} \otimes [\boldsymbol{T}_i \boldsymbol{W}_{il} \boldsymbol{T}'_i] \right\}$$

- Erros-padrão (assintóticos): inversa da Informação de Fisher.

Expressões para o MRN (versão bayesiana)

- priori: $\Gamma_i \sim N_{m_i-1}(\mu_i, \Sigma_i)$, $V_i = \Sigma_i^{-1}$.
- Vetor escore

$$S(\Gamma_i) = \sum_{l=1}^q \left\{ \begin{bmatrix} 1 \\ \bar{\theta}_l \end{bmatrix} \otimes T_i [\bar{r}_{il.} - \bar{f}_{il} P_{il.}] \right\} - V_i (\Gamma_i - \mu_i)$$

- Matriz Hessiana (= - Informação de Fisher)

$$H(\Gamma_i) = \frac{\partial I(\Gamma, \eta)}{\partial \Gamma_i \partial \Gamma'_i} = - \sum_{l=1}^q \left\{ \begin{bmatrix} 1 & \bar{\theta}_l \\ \bar{\theta}_l & \bar{\theta}_l^2 \end{bmatrix} \otimes [T_i W_{il} T'_i] \right\} - V_i$$

- Erros-padrão (assintóticos): inversa da Informação de Fisher.

Estimação dos traços latentes

- Máxima verossimilhança perfilada: $P_{ij\cdot}$ avaliada nas estimativas obtidas para ζ_i .
- Verossimilhança perfilada:

$$L(\theta, \widehat{\zeta}) = \prod_{j=1}^n \prod_{i=1}^I \prod_{s=1}^{m_i} P_{ij\cdot}^{y_{ij\cdot}}.$$

- Função Escore

$$S(\theta_j) = \sum_{i=1}^I \boldsymbol{\alpha}_i' \mathbf{T}_i [\mathbf{y}_{ij\cdot} - \mathbf{P}_{ij\cdot}] .$$

- Função hessiana

$$H(\theta_j) = - \sum_{i=1}^I \{\boldsymbol{\alpha}_i' \mathbf{T}_i \mathbf{W}_{ij} \mathbf{T}_i' \boldsymbol{\alpha}_i\} .$$

Estimação dos traços latentes

- Algoritmo de Newton -Raphson.

$$\theta_j^{(t)} = \theta_j^{(t-1)} - H(\theta_j^{(t-1)})^{-1} S(\theta_j^{(t-1)})$$

- Erros-padrão (assintóticos): inversa da Informação de Fisher.

Estimação dos traços latentes

- Priori: $\theta_j \sim N(0, 1)$. Posteriori perfilada: $P_{ij\cdot}$ avaliada nas estimativas obtidas para ζ_i .
- Função escore bayesiana

$$S(\theta_j)_B = \sum_{i=1}^I \boldsymbol{\alpha}'_i \mathbf{T}_i [\mathbf{y}_{ij\cdot} - \mathbf{P}_{ij\cdot}] - \theta_j.$$

- Função hessiana bayesiana

$$H(\theta_j)_B = - \sum_{i=1}^I \{\boldsymbol{\alpha}'_i \mathbf{T}_i \mathbf{W}_{ij} \mathbf{T}'_i \boldsymbol{\alpha}_i\} - 1.$$

- Algoritmo de Newton -Raphson

$$\theta_j^{(t)} = \theta_j^{(t-1)} - H(\theta_j^{(t-1)})_B^{-1} S(\theta_j^{(t-1)})_B$$

- Erros-padrão (assintóticos): inversa da Informação de Fisher.

Estimação dos traços latentes

- Esperança a posteriori

$$\mathcal{E} [\theta_j | \mathbf{y}_{j\cdot}, \boldsymbol{\Gamma}, \boldsymbol{\eta}] \approx \frac{\sum_{l=1}^q \bar{\theta}_l P(\mathbf{Y}_{j\cdot} | \bar{\theta}_l, \boldsymbol{\Gamma}) A_l}{\sum_{l=1}^q P(\mathbf{Y}_{j\cdot} | \bar{\theta}_l, \boldsymbol{\Gamma}) A_l}$$

- Variância a posteriori.

$$Var [\bar{\theta}_j | \mathbf{y}_{j\cdot}, \boldsymbol{\Gamma}, \boldsymbol{\eta}] = \frac{\sum_{l=1}^q \left\{ \bar{\theta}_l - \mathcal{E} [\bar{\theta}_j | \mathbf{y}_{j\cdot}, \boldsymbol{\zeta}, \boldsymbol{\eta}] \right\}^2 P(\mathbf{Y}_{j\cdot} | \bar{\theta}_l, \boldsymbol{\Gamma}) g(\bar{\theta}_l | \boldsymbol{\eta})}{\sum_{l=1}^q P(\mathbf{Y}_{j\cdot} | \bar{\theta}_l, \boldsymbol{\Gamma}) g(\bar{\theta}_l | \boldsymbol{\eta})}$$

- Erros-padrão: raiz quadrada da variância a posteriori.

Expressões para o MRG

- Várias quantidades são iguais ou semelhantes àquelas obtidas para o MRN.
- Vetor escore $\mathbf{S}(\zeta_i) = (S(a_i), S(b_{i0}), \dots, S(b_{im_i}))'$

$$S(a_i) = \sum_{l=1}^q \sum_{s=0}^{m_i} \left\{ \frac{\bar{r}_{ils}}{P_{ils}} \left[(\bar{\theta}_j - b_{is}) W_{ils}^+ - (\bar{\theta}_j - b_{i(s+1)}) W_{il(s+1)}^+ \right] \right\}$$

e

$$S(b_{ih}) = a_i \sum_{l=1}^q \left\{ W_{ilh}^+ \left[\frac{\bar{r}_{il(h-1)}}{P_{il(h-1)}} - \frac{\bar{r}_{il(h)}}{P_{il(h)}} \right] \right\}$$

Expressões para o MRG

■ Informação de Fisher

$$I(\zeta_i) = \begin{bmatrix} I(b_{i1}, b_{i1}) & I(b_{i1}, b_{i2}) & 0 & \dots & \dots & I(b_{i1}, a_i) \\ I(b_{i2}, b_{i1}) & I(b_{i2}, b_{i2}) & I(b_{i2}, b_{i3}) & 0 & \dots & I(b_{i2}, a_i) \\ 0 & I(b_{i3}, b_{i2}) & I(b_{i3}, b_{i3}) & I(b_{i3}, b_{i4}) & \dots & I(b_{i3}, a_i) \\ \vdots & \vdots & \vdots & \ddots & \vdots & \vdots \\ 0 & 0 & \dots & \dots & I(b_{im_i}, b_{im_i}) & I(b_{im_i}, a_i) \\ I(a_i, b_{i1}) & I(a_i, b_{i2}) & I(a_i, b_{i2}) & \dots & I(a_i, b_{im_i}) & I(a_i, a_i) \end{bmatrix}$$

Expressões para o MRG

$$I(a_i, a_i) = D^2 \sum_{l=1}^q \sum_{s=0}^{m_i} \left\{ \frac{f_{il}}{P_{ils}} \left[(\bar{\theta}_l - b_{is}) W_{ils}^+ - (\bar{\theta}_l - b_{i(s+1)}) W_{il(s+1)}^+ \right]^2 \right\},$$

$$I(b_{ih}, b_{ih}) = D^2 a_i^2 \sum_{l=1}^q \left\{ f_{il} \left[\frac{1}{P_{il(h-1)}} + \frac{1}{P_{ilh}} \right] (W_{ilh}^+)^2 \right\},$$

$$I(b_{ih}, b_{i(h-1)}) = D^2 a_i^2 \sum_{l=1}^q \left\{ \frac{f_{il} W_{ilh}^+ W_{il(h-1)}^+}{P_{il(h-1)}} \right\},$$

$$I(b_{ih}, b_{i(h+1)}) = D^2 a_i^2 \sum_{l=1}^q \left\{ \frac{f_{il} W_{ilh}^+ W_{il(h+1)}^+}{P_{ilh}} \right\}$$

Expressões para o MRG

$$I(a_i, b_{ih}) = \sum_{l=1}^q f_{il} W_{ilh}^+ \left\{ \frac{1}{P_{il(h-1)}} \left[(\bar{\theta}_l - b_{i(h-1)}) W_{il(h-1)}^+ - (\bar{\theta}_l - b_{ih}) W_{ilh}^+ \right] \right.$$
$$\left. - \frac{1}{P_{ilh}} \left[(\bar{\theta}_l - b_{ih}) W_{ilh}^+ - (\bar{\theta}_l - b_{i(h+1)}) W_{il(h+1)}^+ \right] \right\}.$$

Estimação dos traços latentes

- Máxima verossimilhança perfilada: P_{ijs} avaliada nas estimativas obtidas para ζ_i .
- Função escore.

$$\begin{aligned} S(\theta_j) &= \sum_{i=1}^I \sum_{s=0}^{m_i} \left\{ \frac{y_{ijs}}{P_{ijs}} \left(\frac{\partial P_{ijs}}{\partial \theta_j} \right) \right\} \\ &= \sum_{i=1}^I \sum_{s=0}^{m_i} \left\{ \frac{a_i y_{ijs} (W_{ijs}^+ - W_{ij(s+1)}^+)}{P_{ijs}} \right\}. \end{aligned}$$

Estimação dos traços latentes

- Informação de Fisher.

$$I(\theta_j) = a_i^2 \sum_{j=1}^n \sum_{s=0}^{m_i} \left\{ \frac{(W_{ijs}^+ - W_{ij(s+1)}^+)^2}{P_{ijs}} \right\}.$$

- Algoritmo Escore de Fisher $\theta_j^{(t)} = \theta_j^{(t-1)} + I(\theta_j^{(t-1)})^{-1} S(\theta_j^{(t-1)})$
- Erros-padrão (assintóticos): inversa da Informação de Fisher.

Recursos computacionais

■ Multilog.

- Modelos dicotômicos e modelo de resposta nominal.
- MVM, MV, MAP.
- Facilidades semelhantes às do BILOG-MG.
- Em sua versão mais recente permite a análise de grupos múltiplos.

Recursos computacionais

- Pacote mirt (MRN e MRG): opções de parametrização para o MRN.
- $a_{is}(\theta_j - b_{is}) = as_{s-1} * (a_1 * \theta_j) + d_{s-1}$, em que $as_0 = 0$,
 $as_{(s-1)} = s - 1$ e $d_0 = 0$.

Recursos computacionais

- No MRN esta parametrização ajuda a identificar o ordenamento empírico das categorias inspecionando os valores de ak . Valores maiores indicam que a categoria do item está relacionada mais positivamente com a(s) característica(s) do(s) traço(s) latente(s) medidos. Por exemplo, se um item for verdadeiramente ordinal (como numa escala de Likert) e tivesse 4 categorias de resposta, esperaríamos ter $ak_0 < ak_1 < ak_2 < ak_3$, em termos de suas estimativas. Se, por outro lado, $ak_0 > ak_1$, pareceria que a segunda categoria está menos relacionada ao traço latente do que a primeira e, portanto, a segunda categoria deve ser entendida como a "pontuação mais baixa".

Estimação bayesiana plena

- Via dados aumentados: Ferreira, E. V. (2014). Modelos da Teoria de Resposta ao Item assimétricos de grupos múltiplos para respostas políticas nominais e ordinais sob um enfoque bayesiano, Dissertação de Mestrado, Unicamp.
http://repositorio.unicamp.br/bitstream/REPOSIP/306788/1/Ferreira_EduardoVargas_M.pdf
- Via verossimilhança original: Azevedo (2003)

Modelo de resposta nominal

Simular $\theta_j^{(t)} \sim g(\theta_j | \Gamma^{(t-1)}, \mathbf{y}_{\dots})$ (condicional completa), para $j = 1, \dots, n$ independentemente, considerando como priori uma $N(\theta_j | \mu_{\theta_j}, \sigma_{\theta_j}^2)$ através de :

(a) Simular $\theta_j^{(*)} \sim N(\theta_j^{(t-1)}, \psi_{\theta_j})$

(b) Calcular o vetor de probabilidades de aceitação $\theta_j^{(t)} = \theta_j^{(*)}$

$$\pi_j \left(\theta_j^{(t-1)}, \theta_j^{(*)} \right) = \min \left\{ \frac{L(\Gamma^{(t-1)}, \theta_j^{(*)}) \exp \left\{ - \frac{(\theta_j^{(*)} - \mu_{\theta_j})^2}{2\sigma_{\theta_j}^2} \right\}}{L(\Gamma^{(t-1)}, \theta_j^{(t-1)}) \exp \left\{ - \frac{(\theta_j^{(t-1)} - \mu_{\theta_j})^2}{2\sigma_{\theta_j}^2} \right\}}, 1 \right\}$$

(c) Aceitar cada $\theta_j^{(t)} = \theta_j^{(*)}$ com probabilidade π_j , caso contrário $\theta_j^{(t)} = \theta_j^{(t-1)}$

Modelo de resposta nominal

Simular $\Gamma_i^{(t)} \sim g(\Gamma_i | \theta^{(t)}, \mathbf{y}_{...})$ (condicional completa), para $i = 1, \dots, I$

independente, considerando como priori $f(\Gamma_i | \tau_i) \equiv N_{2m_i - 2}(\mu_i, \Sigma_i)$ através de

(a) Simular $\Gamma_i^{(*)} \sim N_{2m_i - 2}(\Gamma_i^{(t-1)}, \Psi_i)$

(b) Calcular o vetor de probabilidades de aceitação $\Gamma_i^{(t)} = \Gamma_i^{(*)}$

$$\pi_i (\Gamma_i^{(t-1)}, \Gamma_i^{(*)}) = \min \{ R_{\Gamma_i}, 1 \}$$

com

$$R_{\Gamma_i} = \frac{L(\Gamma_i^{(*)}, \theta^{(t)}) \exp \left\{ -\frac{1}{2} \left[(\Gamma_i^{(*)} - \mu_{\Gamma_i})' \Sigma_i^{-1} (\Gamma_i^{(*)} - \mu_{\Gamma_i}) \right] \right\}}{L(\Gamma_i^{(t-1)}, \theta^{(t)}) \exp \left\{ -\frac{1}{2} \left[(\Gamma_i^{(t-1)} - \mu_{\Gamma_i})' \Sigma_i^{-1} (\Gamma_i^{(t-1)} - \mu_{\Gamma_i}) \right] \right\}}$$

(c) Aceitar cada $\Gamma_i^{(t)} = \Gamma_i^*$ com probabilidade π_i , caso contrário $\Gamma_i^{(t)} = \Gamma_i^{(t-1)}$

Modelo de resposta gradual

Simular $\theta_j^{(t)} \sim g(\theta_j | \zeta^{(t-1)}, \mathbf{y})$ (condicional completa), para $j = 1, \dots, n$

independentemente, considerando como priori uma $N(\theta_j | \mu_{\theta_j}, \sigma_{\theta_j}^2)$ através de :

(a) Simular $\theta_j^{(*)} \sim N(\theta_j^{(t-1)}, \psi_{\theta_j})$

(b) Calcular o vetor de probabilidades de aceitação $\theta_j^{(t)} = \theta_j^{(*)}$

$$\pi_j \left(\theta_j^{(t-1)}, \theta_j^{(*)} \right) = \min \left\{ \frac{L(\zeta^{(t-1)}, \theta_j^{(*)}) \exp \left\{ -\frac{(\theta_j^{(*)} - \mu_{\theta_j})^2}{2\sigma_{\theta_j}^2} \right\}}{L(\zeta^{(t-1)}, \theta_j^{(t-1)}) \exp \left\{ -\frac{(\theta_j^{(t-1)} - \mu_{\theta_j})^2}{2\sigma_{\theta_j}^2} \right\}}, 1 \right\}$$

(c) Aceitar cada $\theta_j^{(t)} = \theta_j^{(*)}$ com probabilidade π_j , caso contrário $\theta_j^{(t)} = \theta_j^{(t-1)}$

Simular $\zeta_i^{(t)} \sim g(\zeta_i | \theta_i^{(t)}, \mathbf{y})$ (condicional completa), para $i = 1, \dots, I$

independentemente, considerando como priori

$f(\zeta_i | \tau_i) \equiv \text{log-normal}(a_i | \mu_{a_i}, \sigma_{a_i}^2) \times N_{m_i}(\mathbf{b}_i | \boldsymbol{\mu}_{\mathbf{b}_i}, \boldsymbol{\Sigma}_{\mathbf{b}_i})$ através de:

(a) Simular $a_i^{(*)} \sim \text{log-normal}(a_i^{(*)} | a_i^{(t-1)}, \psi_{a_i})$, e $\mathbf{b}_i^{(*)} \sim N_{m_i}(\mathbf{b}_i^{(*)} | \mathbf{b}_i^{(t-1)}, \boldsymbol{\Psi}_{\mathbf{b}_i})$

(b) Calcular o vetor de probabilidades de aceitação $\zeta_i^{(t)} = \zeta_i^{(*)}$

$$\pi_i (\zeta^{(t-1)}, \zeta^{(*)}) = \min \{ R_{\zeta_i}, 1 \}$$

com

$$R_{\zeta_i} = \frac{L(\zeta_i^{(*)}, \theta^{(t)}) \exp \left\{ -\frac{(ln a_i^{(*)} - \mu_{a_i})^2}{2\sigma_{a_i}^2} \right\} \exp \left\{ -\frac{(ln a_i^{(*)} - a_i^{(t-1)})^2}{2\psi_{a_i}} \right\} [a_i^{(*)}]^2}{L(\zeta_i^{(t-1)}, \theta^{(t)}) \exp \left\{ -\frac{(ln a_i^{(t-1)} - \mu_{a_i})^2}{2\sigma_{a_i}^2} \right\} \exp \left\{ -\frac{(ln a_i^{(t-1)} - a_i^{(*)})^2}{2\psi_{a_i}} \right\} [a_i^{(t-1)}]^2}$$
$$\times \frac{\exp \left\{ -\frac{1}{2} \left[(\mathbf{b}_i^{(*)} - \boldsymbol{\mu}_{\mathbf{b}_i})' \boldsymbol{\Sigma}_{\mathbf{b}_i}^{-1} (\mathbf{b}_i^{(*)} - \boldsymbol{\mu}_{\mathbf{b}_i}) \right] \right\}}{\exp \left\{ -\frac{1}{2} \left[(\mathbf{b}_i^{(t-1)} - \boldsymbol{\mu}_{\mathbf{b}_i})' \boldsymbol{\Sigma}_{\mathbf{b}_i}^{-1} (\mathbf{b}_i^{(t-1)} - \boldsymbol{\mu}_{\mathbf{b}_i}) \right] \right\}}$$

(c) Aceitar cada $\zeta_i^{(t)} = \zeta_i^*$ com probabilidade π_i , caso contrário $\zeta_i^{(t)} = \zeta_i^{(t-1)}$

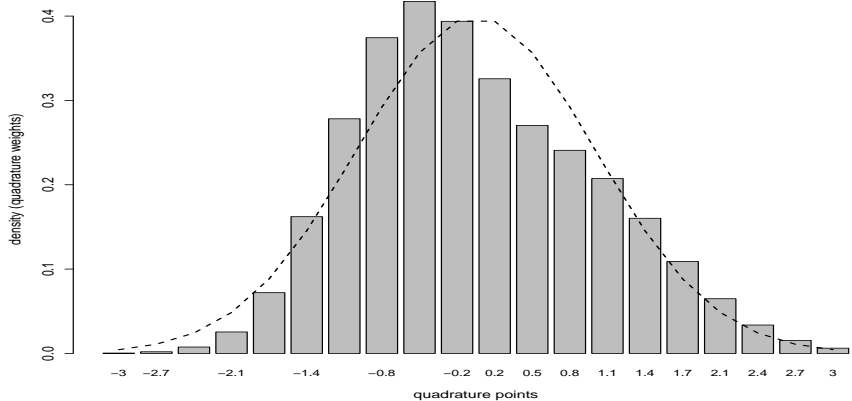
Referências bibliográficas

- Azevedo, C.L.N. (2003). *Métodos de Estimação na Teoria da Resposta ao Item*. Dissertação de Mestrado. IME-USP.
- Baker, F.B. & Kim, Seock-Ho (2004). *Item Response Theory: Parameter Estimation Techniques*, 2nd edition. New York: Marcel Dekker.

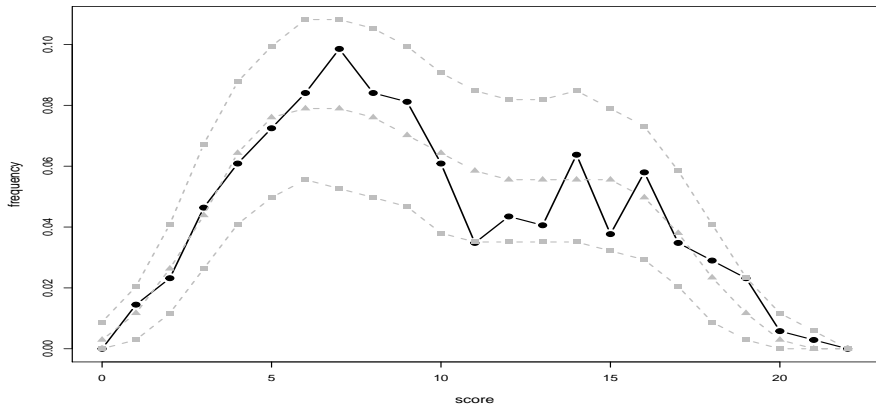
Voltando ao Exemplo 1

- Voltando ao Exemplo 1: itens de múltipla escolha com cinco alternativas.
- Ajustou-se o modelo de resposta nominal, via MIRT, utilizando o método marginal-perfilado (frequentista para os parâmetros dos itens e via EAP para os traços latentes).

Distribuição dos traços latentes



Escores observados e preditos



Verificação da qualidade de ajuste do modelo

- Curvas características do itens:

<http://www.ime.unicamp.br/~cnaber/CCIMRN.pdf>

- Curvas características dos itens com bandas de confiança:

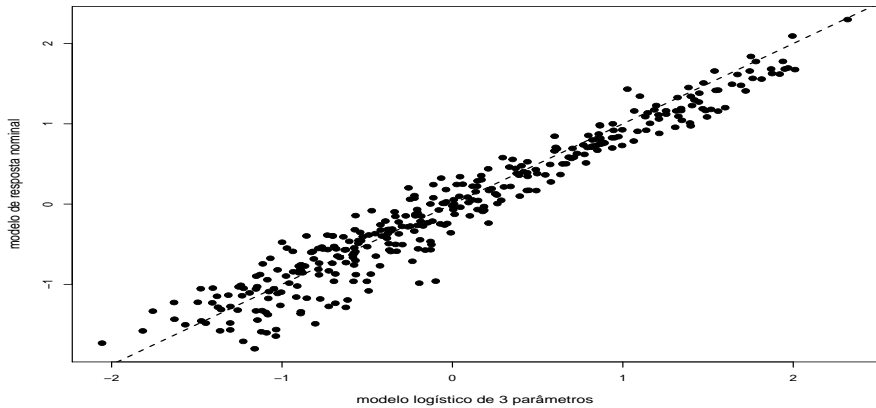
<http://www.ime.unicamp.br/~cnaber/CCICBMRN.pdf>

- proporções observadas de escolhas por categoria:<http://www.ime.unicamp.br/~cnaber/proportionMRN.pdf>

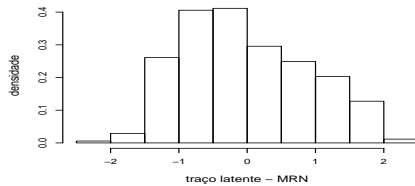
Verificação da qualidade de ajuste do modelo

- Proporções observadas e preditas de escolhas por categorias:
<http://www.ime.unicamp.br/~cnaber/proportionCIMRN.pdf>
- curvas características dos itens com probabilidades esperadas:
<http://www.ime.unicamp.br/~cnaber/CCIADMN.pdf>
- curvas características dos itens com probabilidades esperadas com intervalos de confiança:
<http://www.ime.unicamp.br/~cnaber/CCADCIMRN.pdf>

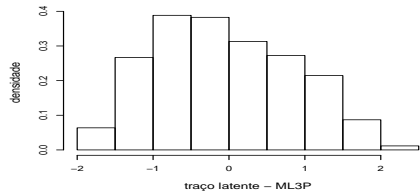
Comparação entre as estimativas dos traços latentes



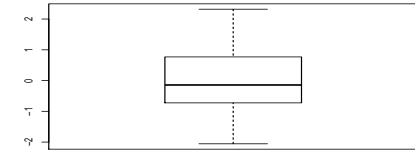
Comparação entre as estimativas dos traços latentes



traço latente - MRN



traço latente - ML3P



traço latente - MRN

